

Л. Н. Отрешко, М. А. Журба, А. М. Билоус, Л. В. Йощенко

Украинский научно-исследовательский институт сельскохозяйственной радиологии
Национального университета биоресурсов и природопользования Украины, Чабаны, Киевская обл.

СОДЕРЖАНИЕ ^{90}Sr И ^{137}Cs В ДРЕВЕСИНЕ НА ЮЖНОМ ТОПЛИВНОМ СЛЕДЕ ЧЕРНОБЫЛЬСКИХ РАДИОАКТИВНЫХ ВЫПАДЕНИЙ

Содержание ^{90}Sr и ^{137}Cs в почве и маломерной неокоренной древесине в Иванковском районе Киевской области на южном топливном следе чернобыльских радиоактивных выпадений было измерено в 2012 - 2013 гг. В настоящее время биогенная и вертикальная миграция в почве ^{90}Sr в лесах привела к обеднению в среднем на $67 \pm 18\%$ его запаса в 20-сантиметровом корнеобитаемом слое почв с содержанием обменного кальция менее 0,25 мг-экв/100 г почвы. Поэтому сейчас загрязнение ^{90}Sr топливной древесины слабо зависит от содержания в почве обменного кальция (до 1 мг-экв/100 г) при одинаковых уровнях первоначального загрязнения почвы ^{90}Sr . Коэффициенты перехода ^{90}Sr в неокоренную древесину лиственных пород деревьев и сосны в среднем составляли 34 ± 20 и 61 ± 56 (Бк/кг)/(кБк/м²), что в десятки раз превышает рекомендуемые МАГАТЭ величины. Практически на всей территории Иванковского района существует риск превышения гигиенического норматива содержания ^{90}Sr в топливной древесине и хворосте.

Ключевые слова: ^{90}Sr , ^{137}Cs , радиоэкология, Чернобыльская авария, лесные экосистемы, радиоактивное загрязнение, допустимые уровни.

Вступление

В связи с изменением экономической ситуации в Украине в последнее время все чаще в личных подсобных хозяйствах (ЛПХ) и для обогрева общественных зданий используется местная топливная древесина. В пгт. Иванков Иванковского района Киевской области, находящегося в 3-й зоне радиоактивного загрязнения, строится тепловая электростанция (ТЭС) мощностью 18 МВт, которая будет использовать местную топливную древесину. Первая очередь ТЭС будет сжигать 7,2 т/ч древесной щепы при влажности 40 % и 19,6 т/ч – 2-я очередь ТЭС.

В 2005 г. в Украине были введены жесткие гигиенические нормативы содержания ^{137}Cs (600 Бк/кг) и особенно ^{90}Sr (60 Бк/кг) в топливной древесине и топливных пучках/хворосте - ГНПАР-2005 [1]. Эти допустимые уровни удельной активности радионуклидов были рассчитаны для случая использования топливной древесины в ЛПХ (8400 кг/год) с последующим применением золы на приусадебных участках в качестве удобрения [2]. При этом увеличение радиоактивного загрязнения дерново-подзолистой песчаной почвы за счет внесения золы на протяжении 30 лет не должно было бы приводить к превышению допустимого содержания (ДУ-2006) ^{90}Sr (20 Бк/кг) и ^{137}Cs (60 Бк/кг) в картофеле с этих участков [3]. На основании такого подхода были получены очень консервативные допустимые уровни содержания радионуклидов в топливной древесине (ГНПАР-2005) по сравнению с реко-

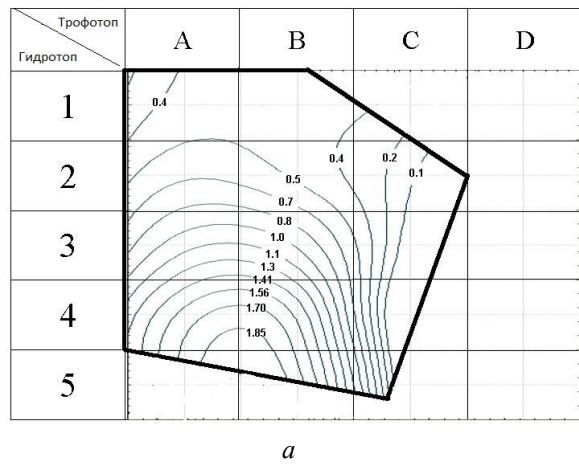
мендациями МАГАТЭ. Приводимый в ТЕСДОС-1376 [4] дозовый конверсионный коэффициент с учетом всех путей воздействия как для ^{90}Sr , так и для ^{137}Cs был максимальным для детей меньше 1 года и составлял $5 \cdot 10^{-5}$ мЗв/год при удельной активности топливной древесины 1 Бк/кг. При содержании ^{90}Sr в топливной древесине 60 Бк/кг дополнительная эффективная доза будет составлять всего 0,003 мЗв/год. В Беларуси (ГН 2.6.1.10-1-01-2001) и Российской Федерации (СП 2.6.1.759-99) допустимые уровни содержания ^{137}Cs в топливной древесине составляют 740 и 1400 Бк/кг (допустимый уровень содержания ^{90}Sr , равный 370 Бк/кг, есть только в РФ).

ГНПАР-2005 применимы в случае использования топливной древесины в ЛПХ и не могут быть применимы для промышленных тепловых установок, для которых концентрирование радионуклидов в золе может достигать 100 раз. В связи с расширением использования древесного топлива в котельных установках и высокой удельной активности радионуклидов в золе в 2009 г. в Беларуси были введены более жесткие требования к содержанию ^{137}Cs в щепе топливной – 300 Бк/кг (ТУ BY 100145188.003-2009) и в древесном топливе (древа, щепа) для котельных с мощностью более 0,1 МВт – 200 Бк/кг. Для населения допустимый уровень содержания ^{137}Cs в топливе (СТБ 1867-2009 «Отходы древесные для изготовления топлива» и СТБ 2027-2010 «Гранулы древесные топливные») в Беларуси остался равным 740 Бк/кг при условии, что содержание ^{137}Cs в зольном остатке при сжигании

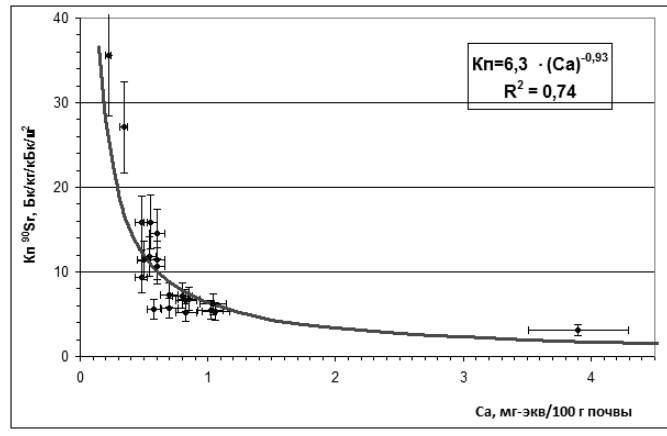
гранул не превысит нижнюю границу для малоактивных радиоактивных отходов в 10 кБк/кг.

Коэффициенты перехода (КП) радионуклидов в древесину (отношение удельной активности радионуклида в сухой древесине или коре (Бк/кг) к плотности загрязнения территории (кБк/м²)) сильно изменяются при разных лесорастительных

условиях для ¹³⁷Cs (рис. 1, а) [5] и содержания в почве обменного кальция для ⁹⁰Sr (рис. 1, б) [6]. Полученные в чернобыльской зоне КП ⁹⁰Sr в древесину сосны для дерново-подзолистых песчаных и супесчаных почв существенно превышают средние значения (1,6 (Бк/кг)/(кБк/м²)), рекомендуемые МАГАТЭ [7].



а



б

Рис. 1. Зависимость коэффициента перехода (КП, (Бк/кг)/(кБк/м²)) в окоренную древесину сосны ¹³⁷Cs (а) от лесорастительных условий [7] и ⁹⁰Sr (б) от содержания в 20-санитметровом корнеобитаемом слое лесной почвы обменного кальция (Са, мг-экв/100 г почвы) [8].

При плотности загрязнения территории ¹³⁷Cs выше 300 кБк/м² и ⁹⁰Sr выше 2 кБк/м² содержание радионуклидов в окоренной древесине может превышать гигиенические нормативы для топливной древесины 600 и 60 Бк/кг (ГНПАР-2005) соответственно [2]. Для неокоренной маломерной топливной древесины и хвороста превышения ГНПАР-2005 могут наблюдаться при меньших плотностях загрязнения почвы [8]. На южной границе зоны отчуждения ЧАЭС во всем Иванковском районе, где проживает население, в настоящее время плотность загрязнения территории ¹³⁷Cs не превышает 185 кБк/м², при этом плотность загрязнения ⁹⁰Sr превышает уровень 2 кБк/м² [9, 10]. Иванковский район имеет наибольшую плотность загрязнения ⁹⁰Sr территории по сравнению с другими регионами Украины, пострадавшими после Чернобыльской аварии, где проживает население и ведется хозяйственная деятельность.

Во время Чернобыльской аварии более 90 % ⁹⁰Sr было выброшено в составе матрицы частиц облученного ядерного топлива – топливных частиц (ТЧ) [11, 12]. Южный топливный след радиоактивных выпадений образовались в результате окисления ядерного топлива, поэтому в кислых дерново-подзолистых почвах UO_{2+x} частицы в настоящее время уже растворились, ⁹⁰Sr перешел в мобильные формы и его поступление в растения достигло максимума [11, 12]. В древо-

стое сосновых лесов в чернобыльской зоне сейчас может находиться до 2 % активности ¹³⁷Cs [13] и до 30 % - ⁹⁰Sr [14] от общего запаса в экосистеме, что также представляет угрозу в случае лесных пожаров на радиоактивно загрязненной территории [15, 16]. В связи с этим именно ⁹⁰Sr является наиболее критическим радионуклидом с точки зрения риска превышения его содержания в топливной древесине на топливном следе чернобыльских радиоактивных выпадений в Иванковском районе, примыкающем к 30-километровой зоне отчуждения ЧАЭС.

В последние годы в Украине из-за высокой стоимости, трудоемкости и длительности радиационный контроль содержания ⁹⁰Sr в продукции проводится очень редко. В связи с этим в настоящее время представляет большую важность оценка содержания ⁹⁰Sr и ¹³⁷Cs в топливной древесине в Иванковском районе, а также ее соответствие требованиям ГНПАР-2005 [2].

Объекты и методы исследований

В 2012 - 2013 гг. для оценки уровней радиоактивного загрязнения топливной древесины был проведен отбор сопряженных проб почвы и маломерной неокоренной древесины в Иванковском районе Киевской области около 30-километровой зоны отчуждение ЧАЭС на участках с максимальной плотностью загрязнения ⁹⁰Sr территории (рис. 2, табл. 1).



Рис. 2. Расположение точек сопряженного отбора проб древесины 2012 - 2013 гг. в Иванковском районе Киевской области.

Таблица 1. Координаты точек сопряженного отбора проб древесины и почвы в 2012 - 2013 гг. в Иванковском районе Киевской области, содержание обменного кальция (Ca) и кислотность водной вытяжки почвы (рН), а также удельная активность радионуклидов в образцах почвы, М±STD

| № пробы* | Координаты точек отбора проб почвы и древесины | | Ca, мг-экв на 100 г | рН | Удельная активность радионуклидов в 20-сантиметровом слое почвы, Бк/кг | | $A_{\text{Cs}-137}/A_{\text{Sr}-90}$ |
|-------------|--|----------|---------------------------|-----|--|------------------|--------------------------------------|
| | N | E | | | ^{137}Cs | ^{90}Sr | |
| 1б | 51,05359 | 30,14672 | 2,31 | 5,4 | 244 ± 48 | 93 ± 18 | $2,6 \pm 0,7$ |
| 2с | 51,05398 | 30,14952 | 0,25 | 4,9 | 172 ± 35 | 11 ± 3 | 16 ± 5 |
| 3б | 51,05423 | 30,16546 | 0,34 | 4,4 | 280 ± 56 | 69 ± 14 | $4,1 \pm 1,1$ |
| 4б | 51,07891 | 30,12256 | 0,38 | 4,9 | 237 ± 48 | 20 ± 4 | 12 ± 3 |
| 5б | 51,07981 | 30,31320 | 1,31 | 5,5 | 144 ± 29 | 51 ± 10 | $2,8 \pm 0,8$ |
| 6с | 51,07864 | 30,32474 | 0,39 | 5,4 | 121 ± 24 | 24 ± 5 | $5,1 \pm 1,4$ |
| 7и | 51,06586 | 30,34678 | 2,51 | 5,9 | 51 ± 10 | 32 ± 6 | $1,6 \pm 0,4$ |
| 8с | 51,06097 | 30,34764 | 0,53 | 5,0 | 145 ± 29 | 22 ± 5 | $6,6 \pm 1,9$ |
| 9о | 51,09399 | 30,33776 | 1,1 | 5,7 | 139 ± 28 | 38 ± 8 | $3,7 \pm 1,0$ |
| 10с | 51,11827 | 30,27979 | 0,14 | 5,2 | 90 ± 18 | 4 ± 2 | 21 ± 6 |
| 11б | 51,08599 | 30,26238 | 0,82 | 5,3 | 124 ± 25 | 51 ± 10 | $2,4 \pm 0,7$ |
| 12с | 51,08994 | 30,26256 | 0,08 | 5,2 | 156 ± 31 | 9 ± 2 | 18 ± 5 |
| 13с | 51,07068 | 30,22231 | 0,44 | 5,1 | 122 ± 24 | 27 ± 6 | $4,6 \pm 1,3$ |
| 14б | 51,08693 | 30,19845 | 0,63 | 5,3 | 143 ± 28 | 48 ± 10 | $3,0 \pm 0,8$ |
| 15с | 51,09366 | 30,18374 | 0,25 | 4,9 | 180 ± 36 | 12 ± 3 | 15 ± 4 |
| 16с | 51,11642 | 30,14730 | 4,06 | 7,5 | 114 ± 23 | 43 ± 8 | $2,6 \pm 0,7$ |
| 17д | 51,11547 | 30,13799 | 0,71 | 4,9 | 170 ± 34 | 23 ± 5 | $7,4 \pm 2,1$ |
| 18б | 51,11382 | 30,12263 | 1,14 | 5,6 | 250 ± 51 | 46 ± 9 | $5,4 \pm 1,5$ |
| 19с | 51,08847 | 30,12198 | 0,25 | 5,5 | 114 ± 23 | 20 ± 4 | $5,8 \pm 1,6$ |
| 20с | 51,06345 | 30,06618 | 0,25 | 5,2 | 2548 ± 510 | 13 ± 3 | 193 ± 54 |
| 21б | 51,06542 | 30,05221 | 0,92 | 5,3 | 90 ± 18 | 18 ± 4 | $5,0 \pm 1,4$ |
| 22с | 51,03785 | 30,07690 | 0,53 | 5,6 | 138 ± 24 | 33 ± 7 | $4,2 \pm 1,2$ |
| 23с | 51,00076 | 29,98040 | 0,81 | 5,0 | 290 ± 58 | 9 ± 2 | 32 ± 9 |
| 24с | 50,96298 | 29,90474 | 0,09 | 4,5 | 67 ± 14 | 19 ± 4 | $3,5 \pm 1,0$ |
| 25б | 50,88909 | 29,98512 | 0,91 | 5,3 | 88 ± 17 | 76 ± 15 | $1,2 \pm 0,3$ |
| 26с | 50,88511 | 29,99046 | 0,06 | 5,0 | 52 ± 10 | 7 ± 2 | $7,9 \pm 2,2$ |

* б – береза, д – дуб, и – ива, о – осина, с – сосна.

Отбор проб почвы проводили по стандартным утвержденным методикам, позволяющим определять медиану плотности загрязнения территории ^{90}Sr и ^{137}Cs на безградиентных пробоотборных участках с относительной погрешностью ($\delta_{\gamma=0,95}$) не хуже 20 % при точности измерений активности радионуклидов в образцах на уровне 20 % [17]. Географические координаты каждой точки пробоотбора определялись с помощью приемника GPSmap 78s (Garmin, США) в системе WGS84 с точностью < 10 м (для 95 % измерений). Перед отбором проб проводилось измерение мощности эквивалентной дозы (МЭД) в воздухе радиометром-дозиметром РКС-01 «СТОРАТУ» (ECOTEST, Украина). Если на пробоотборном участке МЭД изменялась не более чем на 30 % на высоте 10 и 100 см от поверхности земли, то участок считали однородно загрязненным радионуклидами и пригодным для отбора проб почвы и древесины. Пробы почвы отбирались специальным цилиндрическим пробоотборником диаметром 37 мм на глубину пахотного слоя (20 см) в пяти точках на расстоянии 5 - 10 м друг от друга методом конверта, как и при картировании радиоактивного загрязнения 30-километровой зоны отчуждения ЧАЭС [12, 13]. После этого пять проб объединялись в одну общую объединенную пробу объемом 1000 см³, которая высушивалась, просеивалась через сито с ячейками 1 мм и тщательно гомогенизировалась.

Во всех пробах почвы с помощью стандартных методов измерялось содержание обменного кальция (Ca) и кислотность водной вытяжки (pH) [18]. Перед радиохимическим выделением ^{90}Sr пробы почвы озолялись в муфельной печи при температуре до 550 °C.

Сопряженные пробы маломерной неокоренной топливной древесины длиной около 20 см и диаметром около 5 см (не менее пяти точечных проб) отбирались на тех же пробоотборных участках, где и почва, с помощью пилы. В лабораторных условиях пробы древесины высушивались, измельчались и гомогенизировались для проведения измерений активности ^{137}Cs . После гамма-спектрометрических измерения активности ^{137}Cs пробы озолялись в муфельной печи при температуре до 550 °C для радиохимического выделения ^{90}Sr .

Определения активности ^{137}Cs в образцах проводились на гамма-спектрометре с пассивной защитой и полупроводниковым детектором из высокочистого германия GEM-30185, многоканальным анализатором ASPEC-927 и программным обеспечением GammaVision 32(ORTEC, США). Измерения образцов проводили в цилин-

дрических сосудах объемом 100 см³ и сосудах Маринели объемом 1000 см³. Для калибровки гамма-спектрометра использовались сертифицированные эталоны. Активность ^{90}Sr в образцах определяли стандартным радиохимическим методом [19] с использованием бета-спектрометра СЕБ-01-70 (АКП, Украина). Все измерительные приборы проходят ежегодную государственную поверку.

Результаты

Удельная активность ^{137}Cs и ^{90}Sr в 20-санитметровом слое лесных почв составляла 51 - 290 Бк/кг (12 - 75 кБк/м²) и 4 - 93 Бк/кг (2 - 25 кБк/м²) (см. табл. 1), что согласуется с данными о плотности загрязнения ^{137}Cs территории Иванковского района на 2014 г. - 10 - 125 кБк/м² и ^{90}Sr - 1 - 100 кБк/м² [11]. В одной пробе почвы (№ 20c) удельная активность ^{137}Cs более чем на порядок величины превышала средний уровень и составляла 2548 Бк/кг, но при этом удельная активность ^{90}Sr составляла всего 13 Бк/кг, что требует дальнейшего уточнения. Содержание обменного кальция в почвах составляло 0,06÷4,1 мг-экв/100 г, а кислотность водной вытяжки была равна pH = 4,4 - 7,5.

В некоторых пробах почвы (2c, 4б, 10c, 12c, 15c, 23c и 26c) наблюдалось сильное обеднение содержания ^{90}Sr по отношению к его среднему содержанию (см. табл. 1), а также содержанию ^{137}Cs в 20-санитметровом слое лесных почв.

Удельная активность ^{137}Cs в топливной древесине составляла 2 - 121 Бк/кг, а ^{90}Sr - 41 - 643 Бк/кг, при этом только четыре пробы из 26 по содержанию ^{90}Sr соответствовали допустимым уровням ГНПАР-2005 (60 Бк/кг) для топливной древесины и хвороста (табл. 2). Случаев превышения допустимого содержания ^{137}Cs в топливной древесине (600 Бк/кг) не наблюдалось.

Обсуждение

^{90}Sr обладает высокой миграционной способностью в минеральных почвах с низким содержанием гумуса и обменного кальция, что может приводить к значительному обеднению корнеобитаемого слоя почв за счет вертикальной миграции с током влаги [20]. Средние геометрические значения экологических периодов полуочищения 20-санитметровых горизонтов почв от ^{90}Sr варьируют в пределах 3,7 – 84 лет. На минеральных почвах ^{137}Cs значительно менее мобилен по сравнению со ^{90}Sr . Поэтому при значимой вертикальной миграции ^{90}Sr из 20-санитметрового корнеобитаемого слоя почвы наблюдается

Таблица 2. Удельная активность радионуклидов в образцах маломерной неокоренной топливной древесины и ее соответствие допустимому содержанию для топливной древесины (ГНПАР-2005), а также КП радионуклидов в топливную древесину, М±STD

| № пробы | Удельная активность древесины, Бк/кг | | Соответствие ГНПАР-2005 для топливной древесины | КП, (Бк/кг)/(кБк/м ²) | |
|-------------------|---|------------------|--|-----------------------------------|-------------------------------|
| | ^{137}Cs | ^{90}Sr | | ^{137}Cs | ^{90}Sr |
| Лиственные породы | | | | | |
| 16 | 270 ± 54 | 633 ± 42 | нет | $4,4 \pm 1,3$ | 27 ± 6 |
| 36 | 130 ± 38 | 643 ± 42 | нет | $1,9 \pm 0,7$ | 37 ± 8 |
| 46 | 86 ± 26 | 392 ± 26 | нет | $1,5 \pm 0,5$ | 78 ± 17 |
| 56 | 27 ± 16 | 463 ± 30 | нет | $0,8 \pm 0,5$ | 36 ± 8 |
| 7и | 22 ± 11 | 216 ± 15 | нет | $1,7 \pm 0,9$ | 27 ± 6 |
| 9о | 32 ± 18 | 151 ± 10 | нет | $0,9 \pm 0,6$ | 16 ± 3 |
| 11б | 28 ± 16 | 340 ± 22 | нет | $0,9 \pm 0,5$ | 27 ± 6 |
| 14б | 31 ± 25 | 362 ± 24 | нет | $0,9 \pm 0,7$ | 30 ± 6 |
| 17д | 42 ± 27 | 398 ± 27 | нет | $1,0 \pm 0,7$ | 69 ± 15 |
| 18б | 11 ± 8 | 313 ± 21 | нет | $0,18 \pm 0,14$ | 27 ± 6 |
| 21б | 11 ± 6 | 104 ± 7 | нет | $0,49 \pm 0,26$ | 23 ± 5 |
| 25б | 15 ± 8 | 171 ± 12 | нет | $0,68 \pm 0,37$ | $9,0 \pm 1,9$ |
| Среднее | | | | $1,3 \pm 1,1$ | 34 ± 20 |
| Сосна | | | | | |
| 2с | 121 ± 21 | 393 ± 27 | нет | $2,8 \pm 0,8$ | 151 ± 32 |
| 6с | 13 ± 7 | 25 ± 3 | да | $0,4 \pm 0,2$ | $4,2 \pm 1,0$ |
| 8с | 122 ± 13 | 41 ± 6 | да | $3,5 \pm 0,8$ | $7,8 \pm 2,0$ |
| 10с | < 9 | 357 ± 25 | нет | - | 324 ± 170 |
| 12с | 6 ± 2 | 231 ± 16 | нет | $0,15 \pm 0,07$ | 105 ± 22 |
| 13с | 21 ± 3 | 270 ± 19 | нет | $0,7 \pm 0,2$ | 40 ± 9 |
| 15с | 43 ± 9 | 377 ± 26 | нет | $1,0 \pm 0,3$ | 122 ± 26 |
| 16с | 17 ± 8 | 30 ± 3 | да | $0,6 \pm 0,3$ | $2,8 \pm 0,6$ |
| 19с | 23 ± 8 | 286 ± 20 | нет | $0,80 \pm 0,33$ | 58 ± 12 |
| 20с | 47 ± 1 | 219 ± 15 | нет | - | 67 ± 14 |
| 22с | < 3 | 83 ± 6 | нет | - | 10 ± 2 |
| 23с | 14 ± 6 | 134 ± 9 | нет | $0,19 \pm 0,09$ | 58 ± 12 |
| 24с | 19 ± 7 | 43 ± 4 | да | $1,12 \pm 0,45$ | $9,0 \pm 2,0$ |
| 26с | 19 ± 8 | 265 ± 19 | нет | $1,42 \pm 0,63$ | 155 ± 33 |
| Среднее | | | | $1,1 \pm 1,1$ | 61 ± 56 |

увеличение отношения активности в почве ($A_{\text{Cs-137}}/A_{\text{Sr-90}}$) со временем по сравнению со значениями в первоначальных радиоактивных выпадениях с учетом радиоактивного распада радионуклидов. На обследованных сельскохозяйственных угодьях и территории населенных пунктов Иванковского района не наблюдалось достоверного изменения отношения $A_{\text{Cs-137}}/A_{\text{Sr-90}} = 3,2 \pm 0,8$ в зависимости от содержания в 20-сантиметровом слое почвы обменного кальция (при содержании $\text{Ca} > 1 \text{ мг-экв}/100 \text{ г почвы}$) [21, 22]. На более бедных лесных почвах Иванковского района среднее отношение $A_{\text{Cs-137}}/A_{\text{Sr-90}} = 8 \pm 7$ было более чем в 2 раза выше и достоверно уменьшалось с уменьшением содержания в почве обменного кальция (рис. 3, а). Это указывает на существенную вертикальную миграцию ^{90}Sr на бедных, слабо гумуси-

рованных дерново-подзолистых песчаных и супесчаных почвах, а также его значимое поступление в биомассу древостоя лесов [23], что привело к обеднению содержания ^{90}Sr в 20-сантиметровом корнеобитаемом слое почв более чем на 50 % (рис. 3, б). Так, при содержании обменного кальция менее $0,25 \text{ мг-экв}/100 \text{ г почвы}$ относительная утечка ^{90}Sr из 20-сантиметрового слоя ($100 \% \times (A_{\text{Cs-137}}/3,2 - A_{\text{Sr-90}})/(A_{\text{Cs-137}}/3,2)$) в среднем составляла $67 \pm 18 \%$ ($T_{\text{forest1/2}} = -\ln(2)/\ln(1 - 0,67) \cdot (2012 - 1986) = 16 \text{ лет}$), а при $\text{Ca} = 0,25 \pm 1 \text{ мг-экв}/100 \text{ г почвы}$ относительная утечка радиостронция была $35 \pm 28 \%$ ($T_{\text{forest1/2}} = -\ln(2)/\ln(1 - 0,35) \cdot (2012 - 1986) = 42 \text{ года}$), что превышает его физический период полураспада в 29 лет – рис. 3, б). При содержании обменного кальция более $1 \text{ мг-экв}/100 \text{ г почвы}$ не наблюдалось значимого обеднения ^{90}Sr

корнеобитаемого 20-сантиметрового слоя почв за счет миграции радионуклида (см. рис. 3). В настоящее время интенсивность биогенной миграции

^{90}Sr в древостой сосны может быть более значимой по сравнению с его вертикальной миграцией с током влаги [23].

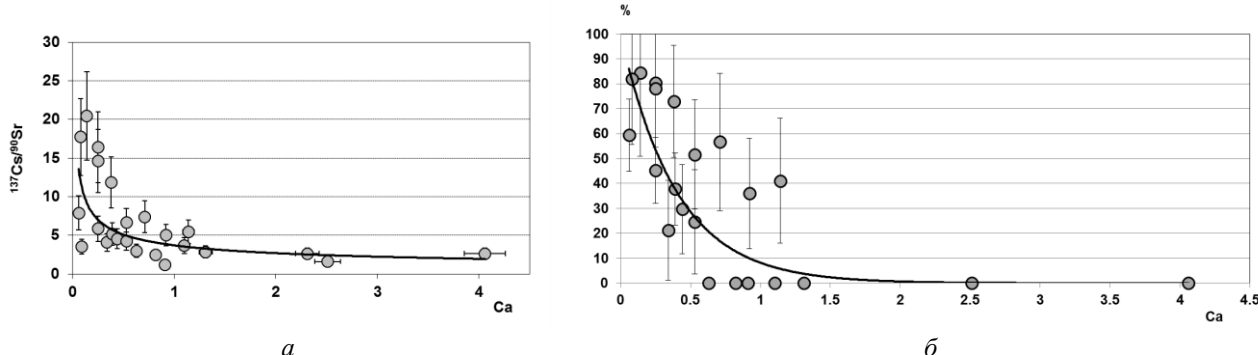


Рис. 3. Зависимость отношения активности $A_{\text{Cs}-137}/A_{\text{Sr}-90}$ (а) и относительной утечки ^{90}Sr (б) из 20-санитметрового корнеобитаемого слоя лесных почв в 2012 - 2013 гг. от содержания в почве обменного кальция (Са, мг-экв/100 г). Сплошная линия – линия тренда показательной функции.

Таким образом, достоверно установлено, что биогенная и вертикальная миграция ^{90}Sr в лесах привела в настоящее время к значимому (более 50 %) обеднению 20-сантиметрового корнеобитаемого слоя почв при содержании обменного кальция менее 0,25 мг-экв/100 г почвы. Это необходимо учитывать при прогнозировании загрязнения лесной растительности и применения параметров корневого поступления, полученных в предыдущие годы.

Для параметризации интенсивности корневого поступления ^{90}Sr и ^{137}Cs в неокоренную маломерную топливную древесину (хворост/топливные пучки) были оценены КП радионуклидов из почвы (см. табл. 2). КП ^{90}Sr в топливную древесину лиственных пород деревьев в среднем составлял 34 ± 20 (Бк/кг)/(кБк/м²) и изменялся от 9 до 78 (Бк/кг)/(кБк/м²), а для сосны – 61 ± 56 (Бк/кг)/(кБк/м²) и изменялся от 3 до 151 (Бк/кг)/(кБк/м²).

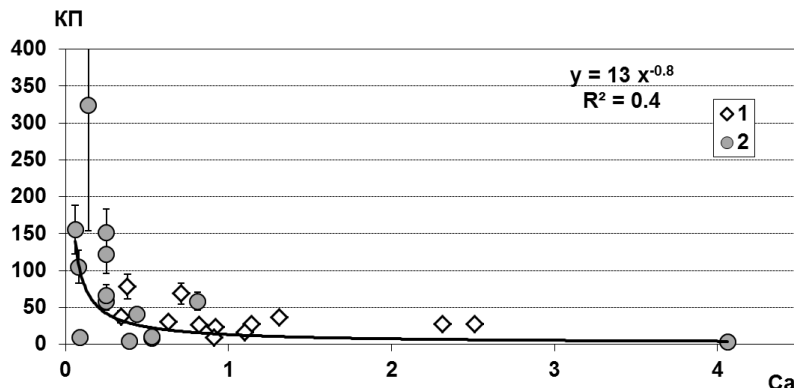


Рис. 4. Зависимость коэффициента перехода ^{90}Sr (КП, ((Бк/кг)/(кБк/м²))) в неокоренную маломерную топливную древесину лиственных пород деревьев (1) и сосны (2) в 2012 - 2013 гг. от содержания в почве обменного кальция (Са, мг-экв/100 г). Сплошная линия – линия тренда для древесины сосны.

Полученные значения КП (см. табл. 2, рис. 4) в некоторых случаях превышают значения, рекомендованные МАГАТЕ 0,6 - 10 (Бк/кг)/(кБк/м²) для березы и сосны [10]. Это объясняется тем, что измерения проводились для неокоренной маломерной топливной древесины (хвороста – топливных пучков), удельная активность которой до 10 раз может превышать удельную активность окоренной древесины. Кроме того, малоплодородные почвы рассматриваемого региона с низким содержанием гумуса и обменного кальция в настоящее время характеризуются повы-

шенными значениями КП ^{90}Sr в древесину (см. рис. 1 и 4) из-за обеднения его содержания в 20-санитметровом корнеобитаемом слое почв за счет миграции (см. рис. 3). Полученная зависимость для неокоренной маломерной древесины сосны (см. рис. 4) с учетом разбросов не противоречит ранее полученным результатам (см. рис. 1) [9], а также классической обратно пропорциональной зависимости КП ^{90}Sr в растительность от содержания в почве обменного кальция [22]:

$$\text{КП}(\text{Ca}) = \text{КП} (\text{при Ca} = 1 \text{ мг-экв}/100 \text{ г})/\text{Ca}. \quad (1)$$

Содержание ^{90}Sr в древесине (A_p , Бк/кг) на топливных следах радиоактивных выпадений на время t (год) без учета миграции радиостронция из подстилки в корнеобитаемый слой почвы в первые годы после чернобыльских радиоактивных выпадений будет определяться кинетикой его выщелачиванием из матрицы топливных частиц ($(1 - \Delta\text{FP}) = (1 - \exp(-k \cdot (t - 1986)))$) [14, 15], содержанием в почве обменного кальция ($\text{КП}(\text{Ca}) = \text{КП} (\text{при Ca} = 1) \cdot \text{Ca}^{-1}$, (Бк/кг)/(кБк/м²)) и $T_{\text{forest}1/2}(\text{Ca})$, а также плотностью загрязнения почвы ^{90}Sr (A_s , кБк/м²) на момент аварии (рис. 5):

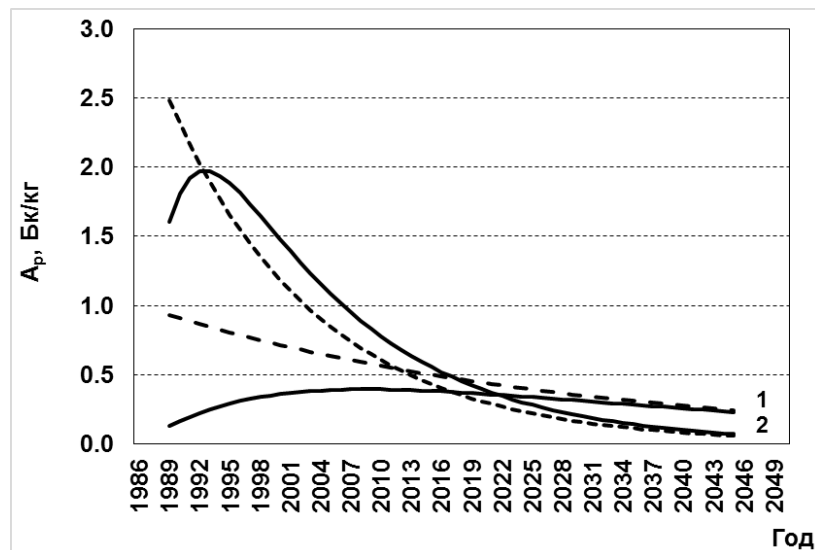


Рис. 5. Динамика корневого загрязнения ^{90}Sr древесины (A_p , Бк/кг) на конденсационных ($k = \infty$, пунктирные линии) и топливных ($k = 0,05 \text{ год}^{-1}$, сплошные линии) следах радиоактивных выпадений при $A_s = 1 \text{ кБк/м}^2$ на 1986 год, КП (при $\text{Ca} = 1$) = 1 (Бк/кг)/(кБк/м²) и при содержании в почве обменного кальция: 1 – 1 мг-экв/100 г почвы ($T_{\text{forest}1/2} = \infty$ лет); 2 – $[\text{Ca}] < 0,25 \text{ мг-экв/100 г почвы}$ ($T_{\text{forest}1/2} = 16$ лет).

При уменьшении содержания в почве обменного кальция увеличивается интенсивность корневого поступления ^{90}Sr в древесину (см. рис. 1 и 4) и одновременно обеднение его содержания в 20-сантиметровом корнеобитаемом слое почвы за счет этого и вертикальной миграции (см. рис. 3). Два этих взаимно разнонаправленных процесса приводят к тому, что КП ^{90}Sr в древесину сильно изменяется во времени и в настоящее время загрязнение ^{90}Sr однотипной древесины слабо зависит от содержания в почве обменного кальция (<1 мг-экв/100 г) при одинаковых уровнях первоначального загрязнения почвы ^{90}Sr после аварии (см. рис. 5). В первое десятилетие после аварии удельная активность ^{90}Sr в древесине была более высокой на слабо гумусированных почвах с низким содержанием обменного кальция. В будущем более высокие уровни загрязнения ^{90}Sr древесины будут наблюдаться при содержании в почве обменного кальция на

$$\begin{aligned} A_p &= A_s \cdot \exp(-(\lambda + \ln(2)/T_{\text{forest}1/2}(\text{Ca})) \times \\ &\times (t - 1986)) \cdot (1 - \Delta\text{FP}) \cdot \text{КП}(\text{Ca}) = \\ &= A_s \cdot \exp(-(\lambda + \ln(2)/T_{\text{forest}1/2}(\text{Ca})) \times \\ &\times (t - 1986)) \cdot (1 - \exp(-k \cdot (t - 1986))) \cdot \text{КП} \\ &\quad (\text{при Ca} = 1) \cdot [\text{Ca}]^{-1}, \quad (2) \end{aligned}$$

где $\lambda = 0,024 \text{ год}^{-1}$ – постоянная распада ^{90}Sr ; $k = 0,05 \text{ год}^{-1}$ – постоянная трансформации ТЧ для южного следа топливных радиоактивных выпадений при $\text{pH} > 6,5$ ($k = \infty$ для водорастворимых форм ^{90}Sr) [14, 15].

уровне около 1 мг-экв/100 г почвы. При более высоких уровнях содержания в плодородных почвах обменного кальция будет наблюдаться обратно пропорциональное уменьшение КП, что также будет приводить к меньшей удельной активности ^{90}Sr в древесине на поздней фазе Чернобыльской аварии.

Следует особо отметить, что уже при плотности загрязнения территории ^{90}Sr , начиная с 1 кБк/м² при КП (см. рис. 4.) выше 60 (Бк/кг)/(кБк/м²), в дровах и топливных пучках (хворосте) удельная активность ^{90}Sr может превышать гигиенический норматив ГНПАР-2005 – 60 Бк/кг. При плотности загрязнения территории ^{90}Sr выше 5,5 кБк/м², что характерно для восточной половины Иванковского района, удельная активность ^{90}Sr в топливной древесине будет превышать 100 Бк/кг и золе – 10 кБк/кг, что требует ее отнесения согласно ОСПУ-2005 к малоактивным радиоактивным отходам со всеми вы-

текающими из этого последствиями. В связи с этим, зона 2а в Иванковском районе [11], где по плотности загрязнения ^{137}Cs территории выше 185 кБк/м² в начале 1990-х годов были введены ограничения на использование топливной и тонкомерной древесины, должна быть существенно расширена из-за возможности превышения гигиенических нормативов ГНПАР-2005 содержания ^{90}Sr (при плотности загрязнения > 5,5 кБк/м²), принятых значительно позже – в 2005 г.

Выводы

Проведен комплексный мониторинг загрязнения ^{90}Sr и ^{137}Cs тонкомерной неокоренной топливной древесины в наиболее загрязненном радиостронцием жилом Иванковском районе, примыкающем к зоне отчуждения ЧАЭС, на поздней фазе Чернобыльской аварии с целью радиационной защиты населения. При содержании обменного кальция менее 0,25 мг-экв/100 г почвы биогенная и вертикальная миграция ^{90}Sr в лесах приводит к значимому (в среднем $67 \pm 18\%$, период экологического полуумненьшения 16 лет) обеднению 20-сантиметрового корнеобитаемого слоя почв. Из-за обеднения содержания ^{90}Sr в корнеобитаемом слое слабо гумусированных почв, обусловленного миграцией радиостронция, про-

исходит изменение со временем величин КП ^{90}Sr в древесину, что следует учитывать при прогнозировании динамики удельной активности ^{90}Sr в древесине и ее соответствия гигиеническим нормативам.

На половине территории Иванковского района содержание ^{90}Sr в неокоренной маломерной древесине может превышать гигиенические нормативы ГНПАР-2005 (60 Бк/кг). Полученные результаты могут быть использованы для оптимизации системы лесопользования и радиационного контроля содержания ^{90}Sr в топливной древесине.

Исходя из полученных данных, следует пересмотреть норматив на содержание ^{137}Cs и ^{90}Sr в топливной древесине, а также дополнить его отдельными нормативами (как в Беларуси) для древесного топлива промышленных энергетических установок.

За поддержку настоящей работы авторы выражают благодарность НУБиП Украины, исследовательскому контракту МАГАТЭ № 17928 «Environmental Behaviour and Biological Impact of Chernobyl Radioactive Particles» и проекту EC FP7 № 604974 «Coordination and Implementation of a pan-European instrument for radioecology (COMET)».

СПИСОК ЛИТЕРАТУРЫ

1. Гігієнічний норматив питомої активності радіонуклідів ^{137}Cs та ^{90}Sr у деревині та продукції з деревини (ГНПАР-2005). - Затверджено Наказом МОЗ України від 31.10.2005. - № 573. - 3 с.
2. Лось І.П., Шабуніна Н.Д., Орлов О.О. та ін. Обґрунтування нормативу на вміст радіонуклідів у паливній деревині та оцінка його виправданості // Довкілля та здоров'я. - 2008. - № 2. - С. 19 - 22.
3. Державні гігієнічні нормативи ГН 6.6.1.1-130-2006. Допустимі рівні вмісту радіонуклідів ^{137}Cs та ^{90}Sr у продуктах харчування та питної води (ДР-2006) // Офіц. віsn. України. - 2006. - № 29. - С. 142.
4. IAEA-TECDOC-1376. Assessing radiation doses to the public from radionuclides in timber and wood products. - Vienna: IAEA, 2003. - 67 р.
5. Орлов О.О., Долін В.В. Біогеохімія цезію-137 у лісово-болотних екосистемах українського Полісся / За ред. Е. В. Соботовича. - К.: Наук. книга, 2010. - 198 с.
6. Шитюк К.Ф. Оцінка можливості лісокористування в зоні впливу ЧАЕС на основі закономірностей поведінки радіонуклідів у лісових біогеоценозах: автореф. дис. ... канд. біол. наук, 03.00.01 - радіобіологія. - К.: КНУ ім. Т. Шевченка, 2011. - 25 с.
7. Handbook of parameter values for the prediction of radionuclide transfer in terrestrial and fresh-water environments. Vienna: IAEA-TRS-472, 2010. - 194 р.
8. CD, АТЛАС. Україна, радіоактивне забруднення, MES, ТОВ “Інтелектуальні Системи ГЕО”. - 2008.
9. Kashparov V.A., Lundin S.M., Khomutinin Yu.V. et al. Soil contamination with ^{90}Sr in the near zone of the Chernobyl accident // J. of Environment Radioactivity. - 2001. - Vol. 56, No. 3. - P. 285 - 298.
10. Kashparov V.A., Lundin S.M., Zvarich S.I. et al. Territory contamination with the radionuclides representing the fuel component of Chernobyl fallout // The Science of the Total Environment. - 2003. - Vol. 317, Iss. 1 - 3. - P. 105 - 119.
11. Kashparov V.A., Protsak V.P., Ahamdach N. et al. Dissolution kinetics of particles of irradiated Chernobyl nuclear fuel: influence of pH and oxidation state on the release of radionuclides in contaminated soil of Chernobyl // J. of Nuclear Materials. - 2000. - Vol. 279. - P. 225 - 233.
12. Kashparov V.A., Ahamdach N., Zvarich S.I. et al. Kinetics of dissolution of Chernobyl fuel particles in soil in natural conditions // J. of Environmental Radioactivity. - 2004. - Vol. 72, Iss. 3. - P. 335 - 353.
13. Kashparov V.A., Lundin S.M., Kadygrib A.M. et al. Forest fires in the territory contaminated as a result of the Chernobyl accident: radioactive aerosol resuspension and exposure of fire-fighters // J. of Environmental Radioactivity. - 2000. - Vol. 51. - P. 281 - 298.
14. Yoschenko V.I., Kashparov V.A., Protsak V.P. et al. Resuspension and redistribution of radionuclides during grassland and forest fires in the Chernobyl exclusion zone: part I. Fire experiments // J. of Environmental Radioactivity. - 2006. - Vol. 86, Iss. 2. - P. 143 - 163.
15. Yoschenko V.I., Kashparov V.A., Levchuk S.E. et al.

- Resuspension and redistribution of radionuclides during grassland and forest fires in the Chernobyl exclusion zone: part II. Modeling the transport process // J. of Environmental Radioactivity. - 2006. - Vol. 87, Iss. 3. - P. 260 - 278.
16. Evangelou N., Balkanski Y., Cozic A. et al. Wildfires in Chernobyl-contaminated forests and risks to the population and the environment: A new nuclear disaster about to happen? // Environment International. - 2014. - Vol. 73. - P. 346 - 358.
17. Хомутинин Ю.В., Каширов В.А., Жебровская Е.И. Оптимизация отбора и измерений проб при радиоэкологическом мониторинге. - К.: ВІПОЛ, 2001. - 160 с.
18. Городній М.М., Лісовал А.П., Бикін А.В. та ін. Агрохімічний аналіз. Підручник: навчальний посібник / За ред. М. М. Городнього. - К.: Арістей, 2004. - 522 с.
19. Павлоцкая Ф.И. Основные принципы радиохимического анализа объектов природной среды и методы определения радионуклидов стронция и
- трансурановых элементов // Журнал аналитической химии. - 1997. - Т 52, № 2. - С. 126 - 143.
20. Иванов Ю.А., Левчук С.Е., Хомутинин Ю.В. и др. Подвижность ^{90}Sr и ^{137}Cs в контрастных по свойствам почвах // Ядерна фізика та енергетика. - 2013. - Т. 14, № 3. - С. 288 - 294.
21. Отрешко Л.М., Левчук С.Е., Йощенко Л.В. Вміст ^{90}Sr в зерні на паливних слідах чорнобильських радіоактивних випадань // Ядерна фізика та енергетика. - 2014. - Т. 15, № 2. - С. 171 - 177.
22. Каширов В.А., Левчук С.Е., Отрешко Л.М., Малоштан И.М. Загрязнение сельскохозяйственной продукции ^{90}Sr в Украине в отдаленный период после Чернобыльской аварии // Радиационная биология. Радиоэкология. - 2013. - Т. 53, № 6. - С. 639 - 650.
23. Thiry Y., Colle C., Yoschenko V. et al. Impact of Scots pine (*Pinus sylvestris* L.) plantings on long term ^{137}Cs and ^{90}Sr recycling from a waste burial site in the Chernobyl red Forest // J. of Environmental Radioactivity. - 2009. - Vol. 100, Iss. 12. - P. 1062 - 1068.

Л. М. Отрешко, М. А. Журба, А. М. Білоус, Л. В. Йощенко

Український НДІ сільськогосподарської радіології НУБіП України, Чабани, Київська обл.

ВМІСТ ^{90}Sr I ^{137}Cs В ДЕРЕВИНІ НА ПІВДЕННОМУ ПАЛИВНОМУ СЛІДІ ЧОРНОБИЛЬСЬКИХ РАДІОАКТИВНИХ ВИПАДІНЬ

Вміст ^{90}Sr і ^{137}Cs в ґрунті і маломірній неокорованій деревині в Іванківському районі Київської області на південному паливному сліді чорнобильських радіоактивних випадінь був виміряний у 2012 - 2013 рр. У теперішній час біогенна і вертикальна міграція в ґрунті ^{90}Sr в лісах привела до збідніння в середньому на $67 \pm 18\%$ його запасу в 20-сантиметровому кореневмісному шарі ґрунтів із вмістом обмінного кальцію менше 0,25 мг-екв/100 г ґрунту. Тому зараз забруднення ^{90}Sr паливної деревини слабо залежить від вмісту в ґрунті обмінного кальцію (до 1 мг-екв/100 г) при однакових рівнях первісного забруднення ґрунту ^{90}Sr . Коєфіцієнти переходу ^{90}Sr в неокоровану деревину листяних порід дерев і сосни в середньому становили 34 ± 20 і 61 ± 56 (Бк/кг)/(кБк/м²), що в десятки разів перевищує рекомендовані МАГАТЕ величини. Практично на всій території Іванківського району існує ризик перевищення гігієнічного нормативу вмісту ^{90}Sr в паливній деревині та хмизі.

Ключові слова: ^{90}Sr , ^{137}Cs , радіоекологія, Чорнобильська аварія, лісові екосистеми, радіоактивне забруднення, допустимі рівні.

L. M. Otreshko, M. A. Zhurba, A. M. Bilous. L. V. Yoschenko

*Ukrainian Institute of Agricultural Radiology,
National University of Life and Environmental Sciences of Ukraine, Chabany, Kyiv region*

^{90}Sr AND ^{137}Cs CONTENT IN WOOD ALONG THE SOUTHERN FUEL TRACE OF CHERNOBYL RADIOACTIVE FALLOUT

^{90}Sr and ^{137}Cs content in soil and unplanted wood of small size has been measured along the southern fuel trace of Chernobyl fallout, in Ivankov region of Kiev Oblast during 2012 - 2013. At present, due to biogenic and vertical ^{90}Sr migration in soil of forests, is reserved in 20-cm rooting-layer, containing less than 0.25 mg-eq of exchangeable calcium per 100 g of soil, reduced by $67 \pm 18\%$ in average. Therefore, contamination of fuel wood with ^{90}Sr today is depended weakly on exchangeable calcium content in soil (up to 1 mg-eq/100 g), considering the equal levels of the initial soil contamination with ^{90}Sr . Values of ^{90}Sr transfer factor (TF) to unplanted wood of deciduous trees and pine mounted to 34 ± 20 and 61 ± 56 (Bq/kg/(kBq/m²), in average, that is in dozens exceeded the values, recommended by IAEA. In practice, at total area of Ivankov region there exist a risk to overrun hygienic norm value of ^{90}Sr content in fuel wood, and brushwood.

Keywords: ^{90}Sr , ^{137}Cs , radioecology, the Chernobyl accident, forest ecosystems, radioactive contamination, permissible levels.

REFERENCES

1. Sanitary standard of specific activity of ^{137}Cs and ^{90}Sr in wood and products of wood (HNPAR 2005). - Approved by the Ministry of Health of Ukraine of 31.10.2005. - № 573. - 3 p. (Ukr)
2. Los' I.P., Shabunina N.D., Orlov O.O. et al. // Dovkillya ta zdrov'ya. - 2008. - No. 2. - P. 19 - 22. (Ukr)
3. State hygienic standards GN 6.6.1.1-130-2006. Acceptable levels of ^{137}Cs and ^{90}Sr in food and drinking water (DR-2006) // Ofitsiynyi visnyk Ukrayiny. - 2006. - No. 29. - P. 142. (Ukr)
4. IAEA-TECDOC-1376. Assessing radiation doses to the public from radionuclides in timber and wood products. - Vienna: IAEA, 2003. - 67 p.
5. Orlov O.O., Dolin V.V. Biogeochemistry of cesium-137 in lisobolotnyh ecosystems Ukrainian Polissya / Ed. by E. V. Sobotovych. - Kyiv: Nauk. knyga, 2010. - 198 p. (Ukr)
6. Shytyuk K.F. Evaluation of forest management in Chernobyl NPP zone based on behavior patterns of radionuclides in forest ecosystems: PhD Abstract of thesis. Biol. Sciences, 03.00.01 - radiobiology. - Kyiv: Taras Shevchenko National University, 2011. - 25 p. (Ukr)
7. Handbook of parameter values for the prediction of radionuclide transfer in terrestrial and fresh-water environments. Vienna: IAEA-TRS-472, 2010. - 194 p.
8. CD, ATLAS. Ukraine, radioactive contamination, MES, Ltd. "Intellectual systems GEO". - 2008.
9. Kashparov V.A., Lundin S.M., Khomutinin Yu.V. et al. Soil contamination with ^{90}Sr in the near zone of the Chernobyl accident // J. of Environment Radioactivity. - 2001. - Vol. 56, No. 3. - P. 285 - 298.
10. Kashparov V.A., Lundin S.M., Zvarich S.I. et al. Territory contamination with the radionuclides representing the fuel component of Chernobyl fallout // The Science of the Total Environment. - 2003. - Vol. 317, Iss. 1 - 3. - P. 105 - 119.
11. Kashparov V.A., Protsak V.P., Ahamdach N. et al. Dissolution kinetics of particles of irradiated Chernobyl nuclear fuel: influence of pH and oxidation state on the release of radionuclides in contaminated soil of Chernobyl // J. of Nuclear Materials. - 2000. - Vol. 279. - P. 225 - 233.
12. Kashparov V.A., Ahamdach N., Zvarich S.I. et al. Kinetics of dissolution of Chernobyl fuel particles in soil in natural conditions // J. of Environmental Radioactivity. - 2004. - Vol. 72, Iss. 3. - P. 335 - 353.
13. Kashparov V.A., Lundin S.M., Kadygrib A.M. et al. Forest fires in the territory contaminated as a result of the Chernobyl accident: radioactive aerosol resuspension and exposure of fire-fighters // J. of Environmental Radioactivity. - 2000. - Vol. 51. - P. 281 - 298.
14. Yoschenko V.I., Kashparov V.A., Protsak V.P. et al. Resuspension and redistribution of radionuclides during grassland and forest fires in the Chernobyl exclusion zone: part I. Fire experiments // J. of Environmental Radioactivity. - 2006. - Vol. 86, Iss. 2. - P. 143 - 163.
15. Yoschenko V.I., Kashparov V.A., Levchuk S.E. et al. Resuspension and redistribution of radionuclides during grassland and forest fires in the Chernobyl exclusion zone: part II. Modeling the transport process // J. of Environmental Radioactivity. - 2006. - Vol. 87, Iss. 3. - P. 260 - 278.
16. Evangelou N., Balkanski Y., Cozic A. et al. Wildfires in Chernobyl-contaminated forests and risks to the population and the environment: A new nuclear disaster about to happen? // Environment International. - 2014. - Vol. 73. - P. 346 - 358.
17. Khomutinin Yu.V., Kashparov V.A., Zhebrovskaya E.I. Optimization of sampling and measurement of samples with the radioecological monitoring. - Kyiv: VIPOL, 2001. - 160 p. (Rus)
18. Gorodnii M.M., Lisoval A.P., Bykin A.V. et al. Agrochemical analysis. Textbook / Ed. by M. M Gorodnii. - Kyiv, Aristey, 2004. - 522 p. (Ukr)
19. Pavlotskaya F.I. // Zhurnal analiticheskoy khimii. - 1997. - Vol 52, No. 2. - P. 126 - 143. (Rus)
20. Ivanov Yu.A., Levchuk S.E., Khomutinin Yu.V. et al. // Nucl. Phys. At. Energy. - 2013. - Vol. 14, No. 3. - P. 288 - 294. (Rus)
21. Otreshko L.M., Levchuk S.E., Ioshchenko L.V. // Nucl. Phys. At. Energy. - 2014. - Vol. 15, No. 2. - P. 171 - 177. (Ukr)
22. Kashparov V.A., Levchuk S.E., Otreshko L.M., Maloshtan I.M. // Radiatsionnaya biologiya. Radioekologiya. - 2013. - Vol. 53, No. 6. - P. 639 - 650. (Rus)
23. Thiry Y., Colle C., Yoschenko V. et al. Impact of Scots pine (*Pinus sylvestris* L.) plantings on long term ^{137}Cs and ^{90}Sr recycling from a waste burial site in the Chernobyl red Forest // J. of Environmental Radioactivity. - 2009. - Vol. 100, Iss. 12. - P. 1062 - 1068.

Надійшла 25.02.2015
Received 25.02.2015